

УДК 519.725.2

И. Ю. Сысоев, Э. М. Габидулин

Московский физико-технический институт (государственный университет)

Декодирование ранговых кодов с использованием слабоортогонального базиса

Процедура вычисления синдрома является важной частью операции декодирования рангового кода. В работе показано, что, используя слабый самоортогональный базис, можно уменьшить сложность этой операции. Оценка сложности приблизительно определяется величиной $n(\log n)^2$. Оценка меньше, чем оценка сложности операции при использовании только стандартного базиса и известного алгоритма Карацубы–Офмана.

Ключевые слова: помехоустойчивое кодирование, ранговые коды, коды Габидулина, синдром, слабый самоортогональный базис, быстрые вычисления, алгоритм Карацубы–Офмана, ПЛИС, реализация, оптимизация.

1. Введение

Ранговые коды представляют интерес для многих областей применения: для коммуникационных технологий, криптографии, пространственно-временного кодирования, случайного сетевого кодирования. Ранговое декодирование является достаточно сложной процедурой и характеризуется большим количеством умножений в расширенном поле Галуа. Поэтому разработчику необходимо решать много проблем при разработке системы, осуществляющей декодирование ранговых кодов. К таким проблемам относятся борьба с большими задержками, высокое потребление мощности и ресурсов кристалла интегральной схемы.

Одним из эффективных способов решения перечисленных проблем является уменьшение сложности алгоритма. Этап вычисления синдрома в процессе декодирования занимает значительную долю во всей процедуре декодирования. В работе будет показано, как можно уменьшить сложность вычисления синдрома, используя слабоортогональный базис.

Основная часть данной работы организована следующим образом. В разделе 2 приводится обзор ранговой метрики и ранговых кодов. В разделе 3 выводится оценка сложности вычисления синдрома рангового кода стандартным методом и вклад этой операции в общую сложность процедуры декодирования. Слабый самоортогональный базис вводится в разделе 4. В разделе 5 рассматриваются используемые быстрые алгоритмы умножения. В разделе 6 обсуждаются особенности реализации блока вычисления синдрома с использованием слабого самоортогонального базиса. В разделе 7 обсуждается эффективность нового алгоритма.

2. Ранговая метрика и ранговые коды

На практике в большинстве случаев используется метрика Хэмминга. Однако представляют интерес другие метрики, в частности *ранговая метрика*.

Ранговая норма матрицы X , определяемая в виде $Rk(X)$, может быть вычислена как количество линейно-независимых строк матрицы. *Ранговое расстояние* между матрицами X и Y определено как ранг разности этих матриц:

$$d_{Rk}(X, Y) = Rk(X - Y). \quad (1)$$

Кодирование с использованием ранговой нормы, или ранговое кодирование, подходит для тех каналов передачи данных, в которых одна и та же ошибка распространяется на различные символы кодового слова, например в сетевом кодировании [16]. В качестве примера стоит привести способ передачи данных под названием «сетевое кодирование» [1].

Введём необходимые обозначения. Обозначим через $GF(q)$ базовое конечное поле из q элементов, где q – степень простого числа. $GF(q^N)$ – это расширение базового поля степени N . Если α – примитивный элемент $GF(q^N)$, то каждый ненулевой элемент β из $GF(q^N)$ есть некоторая степень α , то есть $\beta = \alpha^s$. Более того, для неравных целых r и s существует целое k , такое, что $\alpha^r - \alpha^s = \alpha^k$.

Введём понятие рангового кода [9]. Пусть X^n – n -мерное векторное пространство над полем $GF(q^N)$. Пусть u_1, u_2, \dots, u^N – некоторый фиксированный базис поля $GF(q^N)$, рассматриваемого как векторное пространство над $GF(q)$. Любой элемент $x_i \in GF(q^N)$ однозначно представляется в виде $x_i = a_{1i}u_1 + a_{2i}u_2 + \dots + a_{Ni}u_N$. Пусть A_N^n означает совокупность всех $(N \times n)$ -матриц с элементами из $GF(q)$. Можно задать биекцию $A : X^n \rightarrow A_N^n$ правилом: для любого вектора $x = (x_1, x_2, \dots, x_n)$ можно найти соответствующую матрицу

$$A(x) = \begin{pmatrix} a_{11} & a_{12} & \dots & a_{1n} \\ a_{21} & a_{22} & \dots & a_{2n} \\ \dots & \dots & \dots & \dots \\ a_{N1} & a_{N2} & \dots & a_{Nn} \end{pmatrix}. \quad (2)$$

Рангом вектора x над $GF(q)$ называется ранг матрицы $A(x)$. То есть ранг вектора – это максимальное число его координат, линейно независимых над $GF(q)$. Ранг вектора x над $GF(q)$ обозначается как $r(x; q)$. Аналогично рангом $(r \times n)$ -матрицы H с элементами из $GF(q^N)$ над $GF(q)$ называется максимальное число столбцов, линейно независимых над $GF(q)$. Обозначим ранг матрицы, используя $r(H; q)$. Обозначим ранг $r(H; q)$. Очевидно, что $r(H; q) \geq r(H; q^N)$.

Представим класс кодов максимального рангового расстояния для длин $n \leq N$. Эти коды являются аналогами обобщённых кодов Рида–Соломона [17]. Для удобства записи введём обозначение $[i] = q^i$, $i = 0, \pm 1, \dots$

Пусть $h_i \in GF(q^N)$, $i = 1, 2, \dots, n$, и пусть эти элементы линейно независимы над $GF(q)$. Зададим целое $d \leq n$. образуем матрицу

$$H = \begin{pmatrix} h_1 & h_2 & \dots & h_n \\ h_1^{[1]} & h_2^{[1]} & \dots & h_n^{[1]} \\ \dots & \dots & \dots & \dots \\ h_1^{[d-2]} & h_2^{[d-2]} & \dots & h_n^{[d-2]} \end{pmatrix}. \quad (3)$$

Код с проверочной матрицей вида (3) является кодом с максимальным ранговым расстоянием длины n с расстоянием d . При этом порождающая матрица кода имеет вид

$$G = \begin{pmatrix} g_1 & g_2 & \dots & g_n \\ g_1^{[1]} & g_2^{[1]} & \dots & g_n^{[1]} \\ \dots & \dots & \dots & \dots \\ g_1^{[k-1]} & g_2^{[k-1]} & \dots & g_n^{[k-1]} \end{pmatrix}, \quad (4)$$

где $k = n - d + 1$, а элементы g_1, g_2, \dots, g_n линейно независимы над $GF(q)$. Для проверочной и порождающей матриц должно выполняться условие

$$GH^T = 0. \quad (5)$$

Кодирование ранговых кодов во многих случаях сводится к вычислению значений линейаризованных многочленов в поле $GF(q^N)$. Пусть порождающая матрица имеет вид (4). Тогда кодовое слово имеет вид

$$g = (F(g_1), F(g_2), \dots, F(g_n)), \quad (6)$$

где

$$F(z) = \sum_{i=0}^{k-1} u_i z^{[i]}, \quad (7)$$

причём u_0, \dots, u_{k-1} являются информационными символами.

Коды с проверочной матрицей вида (3) допускают декодирование с помощью алгоритма, который подобен алгоритму декодирования обобщённых кодов Рида-Соломона.

Пусть $g = (g_1, \dots, g_n)$ – кодовый вектор, $e = (e_1, \dots, e_n)$ – вектор ошибки $y = g + e$ – принятый вектор. После получения вектора y из канала связи инеобходимо вычислить синдром:

$$s = (s_0, s_1, \dots, s_{d-2}) = yH^T = eH^T. \quad (8)$$

Задача декодера – по известному вектору синдрома s найти вектор ошибки e . Пусть ранговая норма вектора ошибки равна m . Тогда ошибку e можно представить в виде

$$e = EY = (E_1, \dots, E_m)Y, \quad (9)$$

где величины E_1, \dots, E_m линейно независимы над $GF(q)$, а $Y = (Y_{ij})$ – $(m \times n)$ -матрица ранга m с элементами из $GF(q)$. Тогда вместо (8) можно записать

$$s = EYH^T = EX, \quad (10)$$

где матрица $X = YH^T$ имеет вид

$$X = \begin{pmatrix} x_1 & x_1^{[1]} & \dots & x_1^{[d-2]} \\ x_2 & x_2^{[1]} & \dots & x_2^{[d-2]} \\ \dots & \dots & \dots & \dots \\ x_m & x_m^{[1]} & \dots & x_m^{[d-2]} \end{pmatrix}, \quad (11)$$

причём величины

$$x_p = \sum_{j=1}^n Y_{pj}h_j, p = 1, \dots, m, \quad (12)$$

линейно независимы над $GF(q)$. Равенство (9) эквивалентно системе уравнений относительно неизвестных $E_1, \dots, E_m, x_1, \dots, x_m$:

$$\sum_{i=1}^m E_i x_i^{[p]} = s_p, p = 0, 1, \dots, d-2. \quad (13)$$

Пусть найдено решение этой системы. Тогда из (12) определяется матрица Y , а из (9) – вектор ошибки e . Отметим, что система (13) при заданном m имеет много решений, однако при $m \leq (d-1)/2$ все решения приводят к одному и тому же вектору e .

3. Сложность вычисления синдрома

Проанализируем один из этапов процедуры декодирования, а именно систему вычисления синдрома и поиска вектора ошибок рангового кода (n, k, d) . Здесь n – длина кодового вектора и в нашем варианте равняется размерности расширенного поля. Примем, что размерность поля N равняется длине кодового вектора n , k – количество информационных векторов, d – кодовое расстояние, определяющее максимальный ранг ошибки. Интересным представляется случай $n = 2k$, поэтому примем $n \propto k$.

Заметим, что операция вычисления синдрома выполняется всегда для каждого принятого кодового вектора, в то время как операция поиска вектора ошибок выполняется только в случае ненулевого значения синдрома, полученного на первом этапе.

Поскольку операция вычисления синдрома есть умножение вектора на матрицу, то сложность алгоритма равняется сложности вычисления результатов от n^2k умножений. В этом случае асимптотически сложность алгоритма вычисления синдрома «простым» способом оценивается как $\mathcal{O}(n^2k)$ или как $\mathcal{O}(n^3)$ умножений.

В работе [1] сложность алгоритма поиска вектора ошибок оценивается величиной, равной $\frac{5}{2}n^2 - \frac{3}{2}k^2 + \frac{n-k}{2}$ или $\mathcal{O}(n^2) + \mathcal{O}(n)$ умножениям (см., например, [2]). Из приведённых

оценок следует, что одно из возможных направлений эффективных оптимизаций – это уменьшение сложности вычисления синдрома. Далее будет показан способ оптимизации операции вычисления синдрома с помощью такого математического объекта, как слабоортогональный базис.

4. Слабоортогональный базис

Выберем n линейно-независимых элементов расширенного поля

$$g_0(n) = (g_1, g_2, \dots, g_n), g_j \in GF(q^n). \quad (14)$$

Этот набор (14) является базисом из $GF(q^n)$ над $GF(q)$. Для любого такого набора векторов можно всегда ввести матрицу специального вида

$$G_n = \begin{pmatrix} g_1 & g_2 & \dots & g_n \\ g_1^q & g_2^q & \dots & g_n^q \\ g_1^{q^2} & g_2^{q^2} & \dots & g_n^{q^2} \\ \dots & \dots & \dots & \dots \\ g_1^{q^{n-1}} & g_2^{q^{n-1}} & \dots & g_n^{q^{n-1}} \end{pmatrix}. \quad (15)$$

Определение 1. Базис $g_0(n) = (g_1, g_2, \dots, g_n)$ называется слабым самоортогональным базисом, если для матрицы (15) выполняется условие

$$G_n G_n^T = D, \quad (16)$$

где D – это диагональная матрица в $GF(q^n)$, которая не является результатом умножения на единичную матрицу I_n .

Мы будем использовать следствия из следующей леммы.

Лемма 1. Пусть $\beta \in GF(q^{2n})$ будет элементом, таким что $\beta^{1+q^n} = -1$. Если $g_0(n) = (g_1, g_2, \dots, g_n)$ является слабым самоортогональным базисом поля F_{q^n} , тогда $g_0(2n) = (g_1, g_2, \dots, g_n, \beta g_1, \beta g_2, \dots, \beta g_n)$ есть слабый самоортогональный базис расширенного поля $GF(q^{2n})$.

Доказательство см. в [3]. Далее в тексте будут рассматриваться только конечные поля, для которых $q = 2$.

Стоит напомнить, что существует *сильный самоортогональный базис*, для которого выполняется условие

$$G_n G_n^T = I. \quad (17)$$

В отличие от слабого самоортогонального базиса, самоортогональный базис не позволяет рекурсивно строить пространства с сохранением свойства самоортогональности.

5. Алгоритмы умножения во встроенных системах

В настоящее время оптимальными для практической реализации считаются алгоритмы, производные от алгоритма умножения по методу Карацубы–Оффмана [4], [5], [6], имеющие сложность порядка $\mathcal{O}(n^{\log_2 3})$. При $n \rightarrow \infty$ наименьшую асимптотическую сложность имеет алгоритм умножения Шёнхаге–Штрассена [7], имеющий оценку $\mathcal{O}(n \cdot \log n \cdot \log \log n)$. Однако для случая ранговых кодов он не подходит, так как на практике эффективное использование алгоритма Шёнхаге–Штрассена допустимо при $n \geq \mathcal{O}(2^{15})$ [8], [9]. По этой причине в данной работе предложено использовать схему умножения Карацубы–Оффмана совместно со слабосоортогональным базисом.

5.1. Вычисление синдрома с использованием слабых самоортогональных базисов

Рассмотрим самый простейший вариант базиса, состоящий из двух векторов

$$b_2 = (1, f_1), \quad (18)$$

где

$$f_1^3 = 1 \quad (19)$$

или

$$f_1^3 = f_1^1. \quad (20)$$

Этот базис является слабосоортогональным. Нетрудно убедиться, что

$$\left\| \begin{array}{cc} 1 & f_1^1 \\ 1 & f_1^2 \end{array} \right\| \cdot \left\| \begin{array}{cc} 1 & 1 \\ f_1^1 & f_1^2 \end{array} \right\| = \left\| \begin{array}{cc} 1 + f_1^2 & 1 + f_1^3 \\ 1 + f_1^3 & 1 + f_1^4 \end{array} \right\| = \left\| \begin{array}{cc} 1 + f_1^2 & 0 \\ 0 & 1 + f_1 \end{array} \right\|. \quad (21)$$

Используя базис (18) и базисный элемент f_2

$$f_2^{2^2+1} = f_2^5 = 1, f_2 \in GF(2^2), \quad (22)$$

построим базис пространства вдвое большей размерности:

$$b_4 = (1, f_1, f_2, f_2 f_1). \quad (23)$$

В качестве примера оптимизации рассмотрим $GF(2^4)$ -линейный ранговый код $(4, 2, 3)$, $d = n - k + 1$ с максимальным ранговым расстоянием [10]. Для задания проверочной матрицы H мы будем использовать базис, в котором базисный элемент f_1 задаётся выражением

$$f_1^{2^2+1} = f_1^3 = 1, f_1 \in GF(2^2). \quad (24)$$

Базис $b_1 = (1, f_1)$ является слабым самоортогональным базисом в $GF(2^2)$, поскольку для него выполняется условие (16):

$$\left\| \begin{array}{cc} 1 & f_1 \\ 1 & f_1^2 \end{array} \right\| \left\| \begin{array}{cc} 1 & 1 \\ f_1 & f_1^2 \end{array} \right\| = \left\| \begin{array}{cc} 1 + f_1^2 & 0 \\ 0 & 1 + f_1^4 \end{array} \right\| = \hat{D}. \quad (25)$$

Используя базис (18), вектор из (22) и выражение (25), из леммы 1 получаем, что b является слабым самоортогональным базисом в $GF(2^4)$. Тогда на основе базиса b можно построить проверочную матрицу рангового кода

$$H_2 = \left\| \begin{array}{cccc} 1 & f_1 & f_2 & f_1 f_2 \\ 1 & f_1^2 & f_2^2 & f_1^2 f_2^2 \end{array} \right\|. \quad (26)$$

Аналогично, для размерности $n = 8$ проверочная матрица рангового кода может быть записана в виде

$$H_4 = \left\| \begin{array}{ccccccccc} 1 & f_1 & f_2 & f_1 f_2 & f_3 & f_3 f_1 & f_3 f_2 & f_3 f_2 f_1 \\ 1 & f_1^{[1]} & f_2^{[1]} & (f_2 f_1)^{[1]} & f_3^{[1]} & (f_3 f_1)^{[1]} & (f_3 f_2)^{[1]} & (f_3 f_2 f_1)^{[1]} \\ 1 & f_1 & f_2^{[2]} & (f_2 f_1)^{[2]} & f_3^{[2]} & (f_3 f_1)^{[2]} & (f_3 f_2)^{[2]} & (f_3 f_2 f_1)^{[2]} \\ 1 & f_1^{[1]} & f_2^{[3]} & (f_2 f_1)^{[3]} & f_3^{[3]} & (f_3 f_1)^{[3]} & (f_3 f_2)^{[3]} & (f_3 f_2 f_1)^{[3]} \end{array} \right\|. \quad (27)$$

Можно переписать матрицу (26) иначе. Для этого введём обозначения

$$F_{1,2} = \left\| \begin{array}{c} 1 \\ 1 \end{array} \right\| \left\| \begin{array}{c} f_1 \\ f_1^{[1]} \end{array} \right\|, \quad (28)$$

$$F_{2,2} = \left\| \begin{array}{cc} f_2^{[0]} & 0 \\ 0 & f_2^{[1]} \end{array} \right\|. \quad (29)$$

Тогда (26) преобразуется следующим образом:

$$H_2 = \|F_{1,2} \quad F_{2,2} \cdot F_{1,2}\|. \quad (30)$$

Для $n = 8$ проверочная матрица также может быть представлена компактным образом. Новый вектор f_3 , используемый для генерации пространства элементов в $GF(2^8)$ из элементов пространства $GF(2^4)$, приведёт к матрице

$$F_{3,4} = \left\| \begin{array}{cccc} f_3^{[0]} & 0 & 0 & 0 \\ 0 & f_3^{[1]} & 0 & 0 \\ 0 & 0 & f_3^{[2]} & 0 \\ 0 & 0 & 0 & f_3^{[3]} \end{array} \right\|. \quad (31)$$

Сконструируем из (29) матрицу размерности 4:

$$F_{2,4} = \left\| \begin{array}{cc} F_{2,2}^{[0]} & 0 \\ 0 & F_{2,2}^{[2]} \end{array} \right\|, \quad (32)$$

а из (28) матрицу той же размерности:

$$F_{1,4} = \left\| \begin{array}{cc} F_{1,2} & F_{1,2} \\ F_{1,2} & F_{1,2} \end{array} \right\| = \left\| \begin{array}{cc} I & I \\ I & I \end{array} \right\| F_{1,2}. \quad (33)$$

Введём обозначение

$$K_4 = \left\| \begin{array}{cc} F_{1,2} & F_{2,2} \cdot F_{1,2} \\ F_{1,2} & F_{2,2}^{[2]} \cdot F_{1,2} \end{array} \right\| = \left\| \begin{array}{cc} I & F_{2,2} \\ I & F_{2,2}^{[2]} \end{array} \right\| F_{1,2}. \quad (34)$$

Тогда проверочная матрица из пространства $GF(2^8)$ примет вид

$$H_4 = \|K_4 \quad F_{3,4} \cdot K_4\| = \|I \quad F_{3,4}\| K_4. \quad (35)$$

Таким образом, если проверочная матрица строится с использованием слабого самоортogonalного базиса, то это построение носит *рекурсивный* характер. Рекурсивная структура позволяет по-новому подойти к операции декодирования рангового кода.

В общем случае при $n = 4$ декодер рангового кода (4, 2, 3) получает вектор $y = (y_0, y_1, y_2, y_3)$ и, используя матрицу (26), вычисляет синдром

$$S = \|s_0 \quad s_1\| = yH^T = \left\| \begin{array}{c} y_0 + y_1 f_1 + f_2(y_2 + y_3 f_1) \\ y_0 + y_1 f_1^2 + f_2^2(y_2 + y_3 f_1^2) \end{array} \right\|^T. \quad (36)$$

Заметим, что каждый элемент $y_i \in GF(2^4)$, $i = 0, 1, 2, 3$, может быть представлен в форме

$$y_i = a_i + f_2 b_i, \quad (37)$$

где $a_i \in GF(2^2)$, $b_i \in GF(2^2)$, а $f_2 \in GF(2^2)$.

Элемент f_2^2 может так же быть представлен по правилу (37), как

$$f_2^2 = \alpha + f_2 \beta, \alpha \in GF(2^2), \beta \in GF(2^2). \quad (38)$$

При определённом выборе f_2 можно добиться того, что в (38) $\alpha = 1$, но этот факт принципиально не изменит дальнейшие рассуждения. Тогда

$$\begin{aligned} f_2(y_2 + y_3 f_1) &= f_2(a_2 + f_2 b_2 + (a_3 + f_2 b_3) f_1) = \\ &= f_2 a_2 + \alpha b_2 + f_2 \beta b_2 + f_2(a_3 f_1) + \alpha b_3 f_1 + f_2 \beta b_3 f_1 = \\ &= \alpha(b_2 + b_3 f_1) + f_2(a_2 + a_3 f_1 + \beta(b_2 + b_3 f_1)) = \\ &= r + f_2 t, r \in GF(2^2), t \in GF(2^2). \end{aligned} \quad (39)$$

Заметим, что для вычисления r и t мы должны выполнить 3 сложения по модулю 2 в $GF(2^2)$ и 4 умножения в $GF(2^2)$. Если $C_{GF(2^2)}$ обозначить как сложность предыдущей операции (39), тогда

$$C_{GF(2^2)} = 3ADD_{GF(2^2)} + 4MULT_{GF(2^2)} = C_2. \quad (40)$$

5.2. Обобщение на случай больших полей

В общем случае, если базис является слабым самоортогональным и $n = 2^M$, $M = 0, 1, 2, 3, \dots$, то, обобщив (40), мы получим

$$C_i = 3ADD_{GF(2^{2^{i-1}})} + 2MULT_{GF(2^{2^{i-1}})} + 2C_{i-1} \quad (41)$$

при $i = 1, 2, 3, \dots$ ($C_0 = 0$). $MULT_{GF(2^{2^{i-1}})}$ — сложность произведения двух небазисных векторов. В случае $M = 2$ из (41) получаем (40). Поэтому сложность нахождения элемента синдрома $s_i \in GF(2^{2^k})$ есть

$$C^s = \sum_{i=1}^M \left(C_i + ADD_{GF(2^{2^M})} \right). \quad (42)$$

Если

$$ADD_{GF(2^{2^i})} = \mathcal{O}(2^i) \quad (43)$$

и

$$MULT_{GF(2^{2^i})} = \mathcal{O}\left(2^{i \log_2 3}\right) \text{ (см. [5])}, \quad (44)$$

тогда из (41) следует

$$\begin{aligned} C_i &= 3\mathcal{O}(2^{i-1}) + 2\mathcal{O}(2^{(i-1)\log_2 3}) + 2C_{i-1} = \\ &= 3 \sum_{j=1}^{i-1} (2^{i-1-j} \mathcal{O}(2^j)) + 2 \sum_{j=1}^{i-1} (2^{i-1-j} \mathcal{O}(2^{j \log_2 3})) = \\ &= 3 \sum_{j=1}^{i-1} (2^{i-1} \mathcal{O}(1)) + 2 \sum_{j=1}^{i-1} (2^{i-1} \mathcal{O}(2^{j \log_2 3 - 1})) = \\ &= 3(i-1)2^{i-1} \mathcal{O}(1) + 2^i \sum_{j=1}^{i-1} \mathcal{O}\left(3 \left(\frac{3}{2}\right)^{j-1}\right) \leq \\ &\leq 3(i-1)2^{i-1} \mathcal{O}(1) + \mathcal{O}(2^{i \log_2 3}), \end{aligned}$$

или

$$C_i \approx \mathcal{O}(i2^i) + \mathcal{O}(2^{i \log_2 3}). \quad (45)$$

Используя (43), (44) и (45), упростим (42):

$$\begin{aligned} C^s &= \sum_{i=1}^M \left(C_i + ADD_{GF(2^{2^M})} \right) = \\ &= \sum_{i=1}^M \left(\mathcal{O}(i2^i) + \mathcal{O}(2^{i \log_2 3}) + \mathcal{O}(2^M) \right) \leq \\ &\leq \mathcal{O}(k^2 2^M) + \mathcal{O}(2^{M \log_2 3}). \end{aligned} \quad (46)$$

Так как $M = \log_2 n$, то из (46) получим

$$C^s \approx \mathcal{O}((\log n)^2 n) + \mathcal{O}(n^{\log_2 3}). \quad (47)$$

Используя только алгоритм Карацубы–Оффмана, выполним оценку сложности вычисления элемента синдрома

$$C_K^s = (n-1)\mathcal{O}(n^{\log 3}) + (n-1)\mathcal{O}(n) \approx \mathcal{O}(n^{\log 3+1}) + \mathcal{O}(n^2). \quad (48)$$

Сравнивая (47) и (48), замечаем, что предложенный метод имеет значительную меньшую вычислительную сложность, чем метод, основанный только на использовании алгоритма Карацубы–Оффмана.

6. Реализация блока вычисления синдрома

Опишем реализацию блока вычисления синдрома для случая (8, 4, 5). Согласно (23), слабый самоортогональный базис для этого случая будет основываться на базисе b_4 и иметь вид

$$b_8 = (1, f_1, f_2, f_2f_1, f_3, f_3f_1, f_3f_2, f_3f_2f_1). \quad (49)$$

Для того чтобы выполнить умножение в слабом самоортогональном базисе, необходимо определить матрицы перехода из исходного (стандартного) базиса в слабый самоортогональный (14). Степени Фробениуса ($\alpha^{[i]} = \alpha^{2^i}$) векторов этого базиса составляют элементы проверочной матрицы. Подобно (26), для кода, имеющего скорость 1/2, проверочная матрица будет иметь вид

$$H = \begin{pmatrix} 1 & f_1 & f_2 & f_2f_1 & f_3 & f_3f_1 & f_3f_2 & f_3f_2f_1 \\ 1 & f_1^{[1]} & f_2^{[1]} & (f_2f_1)^{[1]} & f_3^{[1]} & (f_3f_1)^{[1]} & (f_3f_2)^{[1]} & (f_3f_2f_1)^{[1]} \\ 1 & f_1^{[2]} & f_2^{[2]} & (f_2f_1)^{[2]} & f_3^{[2]} & (f_3f_1)^{[2]} & (f_3f_2)^{[2]} & (f_3f_2f_1)^{[2]} \\ 1 & f_1^{[3]} & f_2^{[3]} & (f_2f_1)^{[3]} & f_3^{[3]} & (f_3f_1)^{[3]} & (f_3f_2)^{[3]} & (f_3f_2f_1)^{[3]} \end{pmatrix}. \quad (50)$$

Далее подробно будет рассматриваться схема вычисления элемента синдрома s_0 , аналогичная (36),

$$s_0 = y_0 + f_1y_1 + f_2y_2 + f_1f_2y_3 + f_3y_4 + f_3f_1y_5 + f_3f_2y_6 + f_3f_2f_1y_7. \quad (51)$$

Схемы вычисления других элементов синдрома строятся аналогичным образом и имеют схожий с (51) вид. Для них изменятся только базисные векторы f_i , согласно формуле

$$f_i^{2^{[i]+1}} = 1, f_i \in GF(2^{[i]}). \quad (52)$$

Заметим, что числа вида $F_n = 2^{[n]} + 1$ называются числами Ферма [15]. Из (52) следуют формулы (23) и (24).

6.1. Построение матрицы перехода

Для преобразования векторов в слабый самоортогональный базис и обратно необходимо найти матрицу перехода. Пусть кодовые векторы представлены в стандартном базисе. Чтобы построить матрицу перехода из слабо самоортогонального базиса в исходный стандартный базис, надо определить, каким векторам в новом базисе соответствуют векторы матрицы H (50). Примем, что f_{\min} соответствует вектор, равный примитивному элементу поля в степени $n/2$ (для рассматриваемого базиса (49) это будет вектор α^4), такой, что единичный вектор преобразуется в единичный:

$$00000001_s \rightarrow 000000001_w. \quad (53)$$

С одной стороны, остальные векторы, кроме единичного (53), представлены как комбинация произведений векторов f_i ($f_i \neq f_{\min}$). Назовём его подмножество \mathcal{A} . С другой стороны, оставшиеся векторы являются комбинациями из подмножества \mathcal{A} , умноженные на

вектор f_{\min} . Назовём это подмножество \mathcal{B} . Можно показать, что подпространству, образуемому каждым вектором f_i ($f_i \neq f_{\min}$), можно поставить во взаимно однозначное соответствие подпространство, образуемое векторами y_i с такими же условиями (52), но из поля $GF(2^{n/2})$. Тогда базисные векторы из подмножества \mathcal{A} будут поставлены в соответствие векторам y_i , записанным в младших $n/2$ разрядах, а векторы из подмножества \mathcal{B} будут поставлены в соответствие тем же векторам y_i , но записанным в старших $n/2$ разрядах. Операции умножения преобразуются так, чтобы в слабо самоортогональном базисе выполнялись следующие правила [10]:

$$f_i \cdot f_j \in \mathcal{A}; \quad (54)$$

$$(f_{\text{mult}} \cdot f_i) \cdot f_j \in \mathcal{B}; \quad (55)$$

$$f_{\min} \cdot f_{\min} = \alpha + \beta \cdot f_{\min}, \beta \cdot f_{\min} \in \mathcal{B}, \alpha \in \mathcal{A}. \quad (56)$$

6.2. Пример вычисления матрицы перехода

Пусть имеется поле $GF(2^8)$ или $GF(2^{[3]})$ и элементы в поле задаются неприводимым многочленом [11]

$$p_8(x) = x^8 + x^4 + x^3 + x^2 + 1. \quad (57)$$

Для определения подмножеств нам необходимо выбрать полином из поля $GF(2^{[3-1]})$:

$$p_4(x) = x^4 + x + 1. \quad (58)$$

Примитивный элемент обозначим как δ . Используя условия (52), вычислим значения векторов f_i , на основе которых строятся следующие базисные векторы:

$$f_1 = \delta^{([8]-1)/(2^{[1-1]}+1)} = \delta^{255/3} = \delta^{85} = 11010110; \quad (59)$$

$$f_2 = \delta^{([8]-1)/(2^{[2-1]}+1)} = \delta^{255/5} = \delta^{51} = 00001010; \quad (60)$$

$$f_3 = \delta^{([8]-1)/(2^{[3-1]}+1)} = \delta^{255/17} = \delta^{15} = 00100110. \quad (61)$$

Отметим, что $f_{\min} = f_3$. Элемент в новом базисе, соответствующий элементу ν в старом базисе, обозначим $\tilde{\nu}$. Тогда, поскольку в новом базисе образ элемента f_{\min} есть примитивный элемент поля степени $N/2$,

$$\tilde{f}_3 = \tilde{f}_{\min} = 00010000. \quad (62)$$

Вектору f_1 поставим в соответствие вектор из поля, образованного неприводимым многочленом (57), и запишем значение получившегося младшего элемента в младшие разряды образа в новом базисе. Найдём образы векторов f_1 и f_2 в базисе размерности $N/2$. Для нахождения элементов поля воспользуемся полиномом (58):

$$g_1^3 = 1 \Rightarrow g_1 = \gamma^{15/3} = \gamma^5 = 0110, \quad (63)$$

$$g_2^5 = 1 \Rightarrow g_2 = \gamma^{15/5} = \gamma^3 = 1000, \quad (64)$$

$$g_1 \cdot g_2 = \gamma^8 = 0101, \quad (65)$$

где γ — примитивный элемент поля $GF(2^{[1]})$. Согласно принятому соглашению, образы векторов f_1 и f_2 будут равны

$$\tilde{f}_1 = 0000, g_1 = 00000100, \quad (66)$$

$$\tilde{f}_2 = 0000, g_2 = 00001000, \quad (67)$$

$$\tilde{f}_1 \cdot \tilde{f}_2 = 0000, g_1 \cdot g_2 = 00000101. \quad (68)$$

Здесь мы определили образы подмножества \mathcal{A} . Поскольку элементы подмножества \mathcal{B} есть элементы подмножества \mathcal{A} , умноженные на вектор f_{\min} то, если воспользоваться правилом

умножения (55), можно легко найти образы базисных векторов этого подмножества в новом базисе:

$$f_{\min} \cdot f_1 \rightarrow g_{\min} \cdot g_1 = 01100000, \quad (69)$$

$$f_{\min} \cdot f_2 \rightarrow g_{\min} \cdot g_2 = 10000000, \quad (70)$$

$$f_{\min} \cdot f_1 \cdot f_2 \rightarrow g_{\min} \cdot g_1 \cdot g_2 = 01010000. \quad (71)$$

Учитывая правила (53), (62), (66), (67), (68), (69), (70) и (71), можем записать в виде матрицы набор векторов в стандартном базисе F_{std} . В этом случае исходным векторам будет соответствовать столбец:

$$F_{std} = \left\| f_{\min} f_2 f_1 \quad f_{\min} f_2 \quad f_{\min} f_1 \quad f_{\min} \quad f_2 f_1 \quad f_2 \quad f_1 \quad 1 \right\|, \quad (72)$$

$$F_{std} = \left\| \alpha^{151} \quad \alpha^{100} \quad \alpha^{66} \quad \alpha^{15} \quad \alpha^{136} \quad \alpha^{51} \quad \alpha^{85} \quad \alpha^0 \right\| \quad (73)$$

или

$$F_{std} = \left\| \begin{array}{cccccccc} 1 & 0 & 0 & 0 & 0 & 0 & 1 & 0 \\ 0 & 0 & 1 & 0 & 1 & 0 & 0 & 0 \\ 1 & 0 & 1 & 1 & 0 & 0 & 0 & 0 \\ 0 & 1 & 0 & 0 & 0 & 0 & 1 & 0 \\ 1 & 0 & 0 & 0 & 1 & 1 & 0 & 0 \\ 0 & 0 & 0 & 1 & 1 & 0 & 1 & 0 \\ 1 & 0 & 0 & 1 & 1 & 1 & 1 & 0 \\ 0 & 1 & 1 & 0 & 1 & 0 & 0 & 1 \end{array} \right\|. \quad (74)$$

Соответствующий им набор векторов в слабом самоортогональном базисе F_{weak} есть

$$F_{weak} = \left\| \tilde{f}_{\min} \tilde{f}_2 \tilde{f}_1 \quad \tilde{f}_{\min} \tilde{f}_2 \quad \tilde{f}_{\min} \tilde{f}_1 \quad \tilde{f}_{\min} \quad \tilde{f}_2 \tilde{f}_1 \quad \tilde{f}_2 \quad \tilde{f}_1 \quad 1 \right\| \quad (75)$$

или

$$F_{weak} = \left\| \begin{array}{cccccccc} 0 & 1 & 0 & 0 & 0 & 0 & 0 & 0 \\ 1 & 0 & 1 & 0 & 0 & 0 & 0 & 0 \\ 0 & 0 & 1 & 0 & 0 & 0 & 0 & 0 \\ 1 & 0 & 0 & 1 & 0 & 0 & 0 & 0 \\ 0 & 0 & 0 & 0 & 0 & 1 & 0 & 0 \\ 0 & 0 & 0 & 0 & 0 & 0 & 1 & 0 \\ 0 & 0 & 0 & 0 & 0 & 0 & 1 & 0 \\ 0 & 0 & 0 & 0 & 1 & 0 & 0 & 1 \end{array} \right\|. \quad (76)$$

Используя операции «сложение столбцов», преобразуем (76) в единичную матрицу. Применим такие же операции к (74). После этих операций преобразованная матрица (74) будет равна матрице перехода из слабо самоортогонального базиса в первоначальный, то есть стандартный базис. В рассматриваемом случае

$$T_{std} = \left\| \begin{array}{cccccccc} 0 & 1 & 1 & 0 & 0 & 0 & 1 & 0 \\ 1 & 0 & 0 & 0 & 0 & 1 & 0 & 0 \\ 1 & 0 & 0 & 1 & 0 & 0 & 0 & 0 \\ 0 & 0 & 1 & 0 & 0 & 0 & 1 & 0 \\ 0 & 1 & 1 & 1 & 0 & 1 & 1 & 0 \\ 0 & 1 & 1 & 1 & 0 & 1 & 0 & 0 \\ 0 & 0 & 0 & 1 & 1 & 1 & 0 & 0 \\ 1 & 0 & 1 & 0 & 0 & 0 & 0 & 1 \end{array} \right\|. \quad (77)$$

Матрица перехода из стандартного базиса в слабый самоортогональный определяется как обратная к матрице T_{std} :

$$T_{weak} = \begin{pmatrix} 1 & 0 & 1 & 0 & 1 & 0 & 1 & 0 \\ 1 & 0 & 0 & 1 & 0 & 0 & 0 & 0 \\ 1 & 1 & 1 & 1 & 0 & 1 & 0 & 0 \\ 1 & 0 & 0 & 0 & 1 & 0 & 1 & 0 \\ 0 & 1 & 1 & 0 & 0 & 0 & 1 & 0 \\ 1 & 1 & 1 & 0 & 1 & 0 & 1 & 0 \\ 1 & 1 & 1 & 0 & 0 & 1 & 0 & 0 \\ 0 & 1 & 0 & 1 & 1 & 1 & 1 & 1 \end{pmatrix}. \quad (78)$$

Для данных значений $T_{std}T_{weak} = I$.

6.3. Блок-схема устройства вычисления синдрома

В рассматриваемом случае для реализации математических операций в блоке вычисления синдрома рангового кода потребуются следующие элементы:

- блок преобразования векторов из стандартного базиса в слабый самоортогональный;
- блок умножения в поле размерности $n/2$ на вектор f_1 ;
- блок умножения в поле размерности $n/2$ на вектор f_2 ;
- блок умножения в поле размерности $n/2$ на вектор β (вектор α принимаем равным *единичному*).

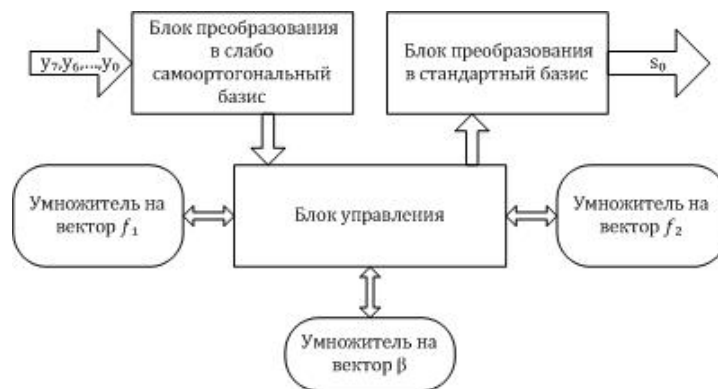


Рис. 1. Структурная схема устройства вычисления синдрома

На рис. 1 показано взаимодействие между элементами устройства. Данные поступают на вход системы в порядке убывания индекса (y_7, y_6, \dots, y_0). Наиболее частое обращение происходит к умножителю на f_1 (8 обращений). К блоку, реализующему умножение на f_2 , происходит 4 обращения. Меньше всего обращений (1 раз) выполняется по отношению к умножителю на β . На выход системы после определённого количества тактов выдаётся значение элемента синдрома s_i . Для скорости, равной $1/2$, потребуется 4 блока ($n = 8$). Заметим, что поскольку в проверочной матрице последующая строчка получается возведением в определённую степень Фробениуса первой строчки, то имеется возможность оптимизировать вычисления за счёт учёта результатов, найденных в соседних блоках. Результаты в соседних блоках получены в процессе определения других элементов синдрома.

6.4. Моделирование и синтез

Для моделирования был использован пакет Active-HDL 7.2 Student Edition от компании Aldec [12]. В качестве языка описания аппаратной части использовался VHDL [13]. Проект создавался для ПЛИС XC3S700AN-4FGG484C [14]. Синтез (synthesize) и алгоритм создания описания для упаковки в память ПЛИС (translation, mapping, placement и routing) выполнялись с настройками по умолчанию. Результаты приведены в табл. 1.

Т а б л и ц а 1

Результаты моделирования и синтеза

Тип схемы	Задержка, такты	Элементарные блоки (slice), шт. (%)	4-портовая память (LUT), шт. (%)	Макс. рабочая частота, МГц
Предложенный алгоритм	23	1355 (23)	1549 (13)	173
Алгоритм на базе умножителей Карацубы–Оффмана	106	751 (12)	1124 (9)	173

Отметим, что задержка в тактах получена при моделировании, однако точно такая же задержка будет и в физическом устройстве. Блок на основе предложенного алгоритма оказывается примерно в 4 раза быстрее. Из-за большего количества элементов (несколько типов умножителей и блоков преобразования векторов в требуемый базис) в физическом устройстве предложенный блок занимает больше ресурсов микросхемы.

7. Заключение

Предложенный способ позволяет для случая декодирования ранговых кодов ($n/2$) сократить время вычисления синдрома по сравнению с методом, основанным на умножителях Карацубы–Оффмана. Проверочное моделирование и синтез показал, что для реализации нового метода требуется в 1,5 раза больше ресурсов кристалла. Вычисление синдрома, основанного на слабо самоортогональном базисе, предпочтительно для систем, в которых время декодирования рангового кода является существенным ограничением.

Литература

1. Ahlswede R., Cai N. [et al.]. Network Information Flow // IEEE Transactions on Information Theory. — V. 46, N 4. — 2000. — P. 1204–1216.
2. Loidreau P. A Welch-Berlekamp like algorithm for decoding Gabidulin codes // Proc. 4th Int. Workshop on Coding and Cryptography. — 2005. — P. 36–45.
3. Gabidulin E. M., Pilipchuk N. I. Symmetric matrices and codes correcting rank errors beyond the $\lfloor (d-1)/2 \rfloor$ bound // Discrete Applied Mathematics. — 2006. — N 154. — P. 305–312.
4. Карацуба А. А., Оффман Ю. П. Умножение многозначных чисел на автоматах // Доклады Академии наук СССР. — 1962. — Т. 145, № 2. — С. 293–294.
5. Афанасьев В. Б., Габидулин Э. М. Кодирование в радиоэлектронике. — М. : Радио и связь, 1986. — 176 с.
6. Bednara M., Gathen J., Grabbe C., Shokrollahi J., Teich J. FPGA designs of parallel high performance $GF(2^{333})$ multipliers // Proc. of the 2003 International Symposium on IEEE «Circuits and Systems (ISCAS03)». — 2003. — V. II. — P. 268–271.
7. Schönhage A., Strassen V. Schnelle Multiplikation großer Zahlen // Computing. — 1971. — I. 7. — P. 281–292.

8. *Coronado Garcia L.C.* Can Schönhage multiplication speed up the RSA encryption or decryption? // University of Technology, Darmstadt. — 2005.
9. *Габидулин Э.М.* Теория кодов с максимальным ранговым расстоянием // Проблемы передачи информации. — 1985. — Т. 21, № 1. — С. 1–12.
10. *Gabidulin E.M., Sysoev I.Y.* Rank codes using weak self-orthogonal bases // Proc. 2010 IEEE Region 8 International Conference on Computational Technologies in Electrical and Electronics Engineering. — 2010. — P. 70–71.
11. *Лидл Р., Хидеррайтер Г.* Конечные поля. Т. 2. — М. : Мир, 1988. — 822 с.
12. *Aldec inc.* Active-HDL Manual / aldec.com: web-site of Aldec inc. 2012. URL: <http://aldec.com/resources/manuals/Active-HDL/index.htm> (дата обращения 22.01.2012).
13. *Xilinx inc.* ISE 13.1 Documentation / xilinx.com: web-site of Xilinx inc. 2012 URL: http://www.xilinx.com/support/documentation/dt_ise13-1.htm (дата обращения 22.01.2012).
14. *Xilinx inc.* Spartan-3AN FPGA User Guides / xilinx.com: web-site of Xilinx inc. 2012 URL: http://www.xilinx.com/support/documentation/spartan-3an_user_guides.htm (дата обращения 22.01.2012).
15. *Luigi Morelli.* Distributed search for Fermat Number Divisors / fermatsearch.org: <http://www.fermatsearch.org/index.html> (дата обращения 04.05.2013).
16. *Silva D., Kschischang F.R., Koetter R.* A Rank-Metric Approach to Error Control in Random Network Coding // IEEE Transactions on Information Theory. — 2008. — V. 54, I. 9. — P. 3951–3967.
17. *Сагалович Ю.Л.* Введение в алгебраические коды: учебное пособие. — М. : МФТИ, 2007. — 262 с.

Поступила в редакцию 06.05.2013.